— МАТЕМАТИКА —

УЛК 515.162.8

ОБ АЛЬТЕРНИРОВАННЫХ КВАЗИПОЛОЖИТЕЛЬНЫХ ЗАЦЕПЛЕНИЯХ

© 2020 г. С. Ю. Оревков^{1,2,3,*}

Представлено академиком РАН В.А.Васильевым 12.07.2020 г. Поступило 16.07.2020 г. После доработки 30.07.2020 г. Принято к публикации 01.08.2020 г.

Приводится эффективный признак квазиположительности зацеплений. В частности, доказано, что если квазиположительное зацепление представимо альтернированной диаграммой, у которой нет пары окружностей Зейферта, соединенных одним-единственным пересечением, то диаграмма положительна и, значит, зацепление сильно квазиположительно.

Ключевые слова: квазиположительное зацепление, альтернированное зацепление, окружность Зейферта

DOI: 10.31857/S2686954320050409

1. ВВЕДЕНИЕ

Коса из п нитей называется квазиположительной, если она является произведением кос, сопряженных стандартным образующим $\sigma_1, ..., \sigma_{n-1}$ группы кос B_n . Коса называется сильно квазиположительной, если она является произведением кос вида $\tau_{k,j}\sigma_j\tau_{k,j}^{-1},\ j\leq k$, где $\tau_{k,j}=\sigma_k\sigma_{k-1}...\sigma_j$. Все зацепления в данном сообщении предполагаются ориентированными зацеплениями в трехмерной сфере S^3 . Зацепление называется (сильно) квазиположительным, если оно представимо (сильно) квазиположительной косой. Этот класс зацеплений очень важен для изучения плоских алгебраических кривых. Как показано в [3], зацепление квазиположительно тогда и только тогда, когда оно высекается комплексной алгебраической кривой на стандартно вложенной трехмерной сфере в \mathbb{C}^2 . В [3] также доказано, что зацепление, высекаемое комплексной алгебраической кривой на любой гладко вложенной трехмерной сфере, являющейся границей строго псевдовыпуклой области в \mathbb{C}^2 , квазиположительно. Критерии квазиположительности играют существенную роль в изучении плоских

вещественных алгебраических кривых (1-я часть 16-й проблемы Гильберта), см., например, [11].

С. Баадер [1, с. 268, вопрос (4)] поставил вопрос: Верно ли, что альтернированные квазиположительные зацепления имеют положительные диаграммы? Заметим, что все положительные диаграммы представляют сильно квазиположительные зацепления (см. [10, 13]) и что все альтернированные сильно квазиположительные зацепления представимы положительными альтернированными диаграммами в силу [2, Сог. 7.3]. Отметим также, что положительные альтернированные диаграммы специальны (диаграмма называется специальной [9], если ее окружности Зейферта ограничивают непересскающиеся диски).

В настоящем сообщении мы на этот вопрос даем утвердительный ответ для широкого класса альтернированных зацеплений — для зацеплений, обладающих альтернированной диаграммой, у которой число окружностей Зейферта равно брэйдиндексу (т. е. минимально возможному числу нитей представляющей косы). Такие диаграммы мы будем называть диаграммами Дяо—Хетьея—Лю, или DHL-диаграммами (а соответствующие зацепления — DHL-зацеплениями), так как эти ав-

¹ Математический институт им. В.А. Стеклова Российской академии наук, Москва, Россия

² L'université Paul Sabatier, Toulouse, France

³ Московский физико-технический институт (национальный исследовательский университет), Долгопрудный, Московская область, Россия

^{*}E-mail: stepan.orevkov@math.univ-toulouse.fr

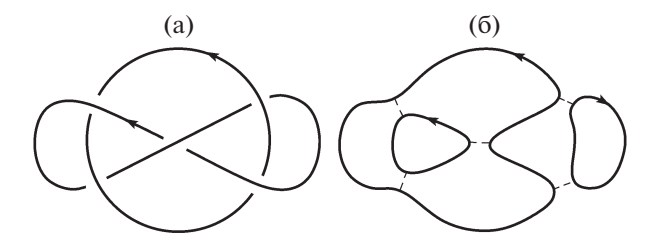


Рис. 1. а – Пример зацепления, которое неквазиположительно по теоремам 1 и 2; б – его окружности Зейферта.

торы в работе [5] дали им следующую очень простую и изящную характеризацию.

Теорема 1 [5, Thm. 1.1]. Альтернированная диаграмма является DHL-диаграммой тогда и только тогда, когда она не имеет пары окружностей Зейферта, соединенных через одно-единственное пересечение.

Сформулируем основной результат сообщения.

T е о р е м а 2. Пусть D — DHL-диаграмма квазиположительного зацепления. Тогда D положительна.

Доказательство этой теоремы получается сочетанием результатов из [6, 7, 9, 14, 15] (см. раздел 2). Теоремы 1 и 2 позволяют без каких-либо вычислений строить многочисленные примеры неквазиположительных зацеплений (см. рис. 1).

Поскольку все положительные диаграммы представляют сильно квазиположительные зацепления (см. [10, 13]), мы получаем

C л е д с т в и е 1. Пусть L — DHL-зацепление. Тогда следующие условия эквивалентны:

- (i) L квазиположительно;
- (ii) *L сильно квазиположительно*;
- (iii) L имеет положительную альтернированную диаграмму.

В разделе 3 мы обобщаем теорему 2 на все альтернированные зацепления, брэйд-индекс которых вычислен в [4]; см. теорему 4 и замечание 2.

2. ДОКАЗАТЕЛЬСТВО ОСНОВНОЙ ТЕОРЕМЫ

Пусть D — связная диаграмма некоторого зацепления. Графом Зейферта диаграммы D назовем граф G_D , вершины которого отвечают окружностям Зейферта, а ребра — пересечениям. Определим знаки ребер как знаки соответствующих пересечений. Диаграмма D называется редуцированной, если G_D не имеет ребер, удаление которых делает граф G_D несвязным. Обозначим через d(D) сумму знаков всех ребер некоторого остовного дерева графа G_D , и пусть w(D) — сумма знаков пересечений (writhe) диаграммы D.

Для зацепления L обозначим через $\sigma(L)$ и $\mathbf{n}(L)$ его сигнатуру и дефект (nullity) — последний определен как дефект симметризованной формы Зейферта, отвечающей связной поверхности Зейферта.

Теорема 3 (Traczyk [14]). Пусть D- связная редуцированная альтернированная диаграмма зацепления L. Тогда $\sigma(L) = d(D) - w(D)$ и $\mathbf{n}(L) = 0$.

Данная формула для $\sigma(L)$ приведена в [14, Thm. 2(1)] (множитель 1/2 там ошибочен). То, что $\mathbf{n}(L)=0$ (эквивалентно, $\det(L)\neq 0$), доказано в [9, Lem. 5.1] и в приложении к статье [14]. Это также легко вывести из [14, Thm. 1].

Доказательство теоремы 2. Пусть D- DHL-диаграмма квазиположительного зацепления L. Очевидно, что каждая компонента связности диаграммы D- тоже DHL-диаграмма, причем она задает квазиположительное зацепление в силу [12]. Поэтому мы будем рассматривать только тот случай, когда D связна.

Обозначим брэйд-индекс зацепления L через n. По определению DHL-диаграмм, D имеет n окружностей Зейферта. Следовательно, по [15, Thm. 1] (см. обсуждение этой теоремы во введении статьи [15]), L представима косой из n нитей β_1 , причем

$$w(\beta_1) = w(D). \tag{1}$$

Согласно [7, Thm. 1.2] L представима квазиположительной косой из n нитей β_2 . Неравенство Мурасуги—Тристрама [9] для квазиположительной косы можно записать следующим образом (см. [11, Cor. 3.2]):

$$1 + \mathbf{n}(L) \ge |\sigma(L)| + n - w(\beta_2). \tag{2}$$

По теореме Дынникова—Прасолова [6] (обобщенная гипотеза Джонса)

$$w(\beta_1) = w(\beta_2). \tag{3}$$

Заметим, что все DHL-диаграммы редуцированны. Поэтому из (1)—(3) и теоремы 3 вытекает, что $|d(D)-w(D)| \le 1-n+w(D)$, откуда $w(D)-d(D) \le 1-n+w(D)$, т.е. $d(D) \ge n-1$. Напомним, что d(D) есть сумма знаков всех ребер остовного дерева графа G_D . Любое остовное дерево имеет n-1

ребро, следовательно, все его ребра положительны. Поскольку каждое ребро графа G_D лежит в некотором остовном дереве, мы заключаем, что все пересечения в D положительны. Теорема 2 доказана.

3. ОБОБШЕНИЕ ОСНОВНОЙ ТЕОРЕМЫ

Пусть D — альтернированная диаграмма некоторого зацепления L. Обозначим через b=b(L) брэйд-индекс зацепления L, а через s=s(D) — число окружностей Зейферта диаграммы D. Пусть $d^{\pm}=d^{\pm}(D)$ — число ребер соответствующего знака в остовном дереве графа G_D , тем самым $d=d(D)=d^+-d^-$.

Пусть β — коса из b нитей, задающая L. По теореме Дынникова—Прасолова [6] $w(\beta)$ не зависит от выбора косы β , что позволяет нам определить числа $\mathbf{r}^{\pm} = \mathbf{r}^{\pm}(D)$ как решения системы уравнений

$$\mathbf{r}^+ + \mathbf{r}^- = s - b, \quad \mathbf{r}^+ - \mathbf{r}^- = w(D) - w(\beta).$$

Замечание 1. Определение чисел r^{\pm} , данное в [4], не вполне ясно, однако во всех случаях, когда эти числа найдены в [4], они совпадают с нашими \mathbf{r}^{\pm} ; ср. [4, Rem. 3.1—3.3].

Если D есть DHL-диаграмма, то $\mathbf{r}^+ = \mathbf{r}^- = 0$ (напомним, что в этом случае $w(D) = w(\beta)$ по [15, Thm. 1]), таким образом, следующее утверждение обобщает теорему 2.

Teopema 4. Пусть D- редуцированная альтернированная диаграмма квазиположительного зацепления L, причем

$$2\mathbf{r}^{-}(D) \le d^{-}(D). \tag{4}$$

Тогда D положительна (а значит, L сильно квазиположительно в силу [10, 13]).

Д о к а з а т е л ь с т в о . Поскольку все рассуждения почти те же, что и для теоремы 2, мы только приведем заключительные вычисления. Итак, мы имеем $w(D) - d \le |\sigma| \le 1 - b + w(\beta)$, следовательно,

$$d+1 \ge w(D) - w(\beta) + b =$$

$$= (\mathbf{r}^+ - \mathbf{r}^-) + s - (\mathbf{r}^+ + \mathbf{r}^-) = s - 2\mathbf{r}^- \ge s - d^-,$$

откуда $d^+ \ge s - 1$, и из этого вытекает требуемый результат.

Замечание 2. Во всех случаях, когда брэйдиндекс редуцированной альтернированной диаграммы вычислен в [4], имеет место неравенство (4), в частности, оно выполнено для минимальных диаграмм зацеплений с двумя мостами и для альтернированных зацеплений Монтесиноса.

Вопрос 1. Выполнено ли (4) для всех редуцированных альтернированных диаграмм? Замечание 3. Тецуя Ито [8] обобщил теорему 2 на однородные диаграммы, у которых число окружностей Зейферта равно брэйд-индексу (отметим, однако, что неизвестен алгоритм проверки этого условия). Некоторые другие близкие вопросы также обсуждаются в [8].

БЛАГОЛАРНОСТИ

Автор признателен Мишелю Буало за полезные обсуждения.

СПИСОК ЛИТЕРАТУРЫ

- Baader S. Slice and Gordian Numbers of Track Knots // Osaka J. Math. 2005. V. 42. P. 257–271.
- Boileau M., Boyer S., Gordon C. M. Branched Covers of Quasi-Positive Links and L-Spaces // J. of Topology. 2019. V. 12. P. 536–576.
- 3. *Boileau M., Orevkov S.* Quasipositivité d'une courbe analytique dans une boule pseudo-convexe // C. R. Acad. Sci. Paris, Ser. I. 2001. V. 332. P. 825–830.
- 4. *Diao Y., Ernst G., Hetyei G., Liu P.* A Diagrammatic Approach for Determining the Braid Index of Alternating Links. Arxiv:1901.09778.
- 5. *Diao Y., Hetyei G., Liu P.* The Braid Index of Reduced Alternating Links. Arxiv:1701.07366.
- 6. Дынников И.А., Прасолов М.В. Шунты для прямоугольных диаграмм. Доказательство гипотезы Джонса и связанные вопросы // Труды ММО. 2013. Т. 74. № 1. С. 115—173.
- 7. *Hayden K.* Minimal Braid Representatives of Quasipositive Links // Pac. J. Math. 2018. V. 295. P. 421–427.
- 8. *Ito T.* On Homogeneous Quasipositive Links. arxiv:2007.03962.
- Murasugi K. On Certain Numerical Invariant of Link Types // Trans. Amer. Math. Soc. 1965. V. 117. P. 387– 422
- Nakamura T. Four-genus and Unknotting Number of Positive Knots and Links // Osaka J. Math. 2000. V. 37. P. 441–451.
- 11. *Orevkov S.Yu.* Classification of Flexible *M*-curves of Degree 8 up to Isotopy // GAFA Geom. Funct. Anal. 2002. V. 12. P. 723–755.
- Оревков С.Ю. Квазиположительные зацепления и связные суммы // Функц. анализ и прилож. 2020. Т. 54. № 1. С. 81–86.
- Rudolph L. Positive Links are Strongly Quasipositive / In: Proceedings of the Kirbyfest, Berkeley, CA, USA, June 22–26, 1998. University of Warwick. Warwick, UK. Geom. Topol. Monogr. 2. 1999. P. 555–562.
- Traczyk P. A Combinatorial Formula for the Signature of Alternating Diagrams // Fundamenta Math. 2004. V. 184. P. 311–316.
- 15. *Yamada S*. The Minimal Number of Seifert Circles Equals the Braid Index of a Link // Invent. Math. 1987. V. 89. P. 347–356.

ON ALTERNATING QUASIPOSITIVE LINKS

S. Yu. Orevkov^{a,b,c}

a Steklov Mathematical Institute of the Russian Academy of Sciences, Moscow, Russian Federation
b L'universitée Paul Sabatier, Toulouse, France

^c Moscow Institute of Physics and Technology (National Research University), Dolgoprudny, Moscow oblast, Russian Federation
Presented by Academician of the RAS V. A. Vasilyev

An effectively verifiable condition for quasipositivity of links is given. In particular, it is proven that if a quasipositive link can be represented by an alternating diagram satisfying the condition that no pair of Seifert circles is connected by a single crossing, then the diagram is positive and the link is strongly quasipositive.

Keywords: quasipositive link, alternating link, Seifert circles